

٣٢٣٩٨



دانشگاه شهید بهشتی

دانشکده فنی - بخش مکانیک

پایان نامه برای دریافت درجه کارشناسی ارشد مکانیک

تحت عنوان:

انجام مطالعات پارامتری و شبیه سازی آلاینده های NO_x و CO در
موتورهای احتراق داخلی با شارژ چینه ای پاشش مستقیم (TCCS)

استاد راهنما:

دکتر سید حسین منصوری

۱۹۸۴

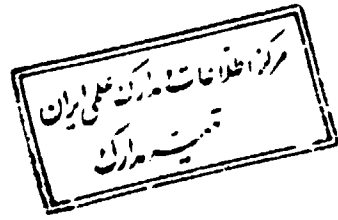
: نگارش

احسان کلانتری

خرداد ۱۳۷۵

ب

۳۹۳۹۷



۱۳۷۹ / ۷ / ۲۵

بسمه تعالیٰ

این پایان نامه
به عنوان یکی از شرایط احراز درجه کارشناسی ارشد

به

بخش مهندسی مکانیک
دانشگاه شهید باهنر کرمان

تسلیم شده است و هیچگونه مدرکی به عنوان فراغت از تحصیل دوره مذبور شناخته نمی شود

دانشجو: احسان کلانتری

امضاء

استاد راهنمای: آقای دکتر سید حسین منصوری

داور ۱: آقای دکتر وهاب پیروزپناه

داور ۲: آقای دکتر علی کشاورز



ج

تقدیم به:

عزیزانہ

پدر گرامی

و

مادر مهربانہ

تشکر و قدردانی:

خدای را مپاس می گوییم که به این بندۀ حقیر توانایی به پایان رساندن این دوره تحصیلی را عنایت فرمود.

در اینجا لازم می دانم از کلیه اساتیدی که در این دوره تحصیلی اینجانب را یاری نموده اند، مخصوصا جناب آقای دکتر سید حسین منصوری که راهنمایی و هدایت پایان تامه را بر عهده داشتند، آقایان دکتروهاب پیروز پناه و دکتر علی کشاورز که زحمت داوری دفاع از پایان نامه را متفقی شدند و جناب آقای دکتر علی سینایی ریاست محترم بخش مکانیک که حسن توجهشان همراه مایه دلگرمی می باشد، نهایت سپاسگزاری را به عمل آورم.

همچنین از خانواده عزیزم که در تمامی دوره های تحصیلی مشرق و پشتیبان اینجانب بوده اند کمال تشکر و قدردانی را دارم.

در اینجا جای دارد از صاحبخانه محترم و مهربانم خانم بجهت فکور بیان شیرازی که در مدت هشت سال اقامت اینجانب در کرمان همچون مادری مهریان و دلسوز برایم بودند، سپاسگزاری نمایم.

در خاتمه لازم است مرائب تشکر و قدردانی خود را از مرکز بین المللی علوم و تکنولوژی پیشرفت و علوم محیطی که در تهیه این پژوهش همکاریهای لازم را مبذول فرمودند، اعلام دارم.

چکیده

در این پژوهش پیش بینی آلاینده های اکسید نیتروژن و مونواکسید کربن در موتورهای احتراق داخلی با شارژ چینه ای پاشش مستقیم (TCCS) شبیه سازی شده است. پیش بینی آلاینده های اکسید نیتروژن و مونواکسید کربن بر ترتیب بر اساس شبیه سازی های توسعه یافته زلدویج و استاندارد صورت گرفته است. معادلات حاصل از شبیه سازی های فوق با در نظر گرفتن جزئیات هوای مکیده شده که دارای اکسید نیتروژن و مونواکسید کربن ناشی از گازهای باقی مانده سیکل قبل می باشد، برای نواحی سوخته المانهای جت سوختی اعمال گردیده اند. شبیه سازیها با استفاده از دو مدل محضای انتقال حرارت (وشنی و $(\epsilon - k)$) و احتراق کک و بلیزارد اعمال شده اند. نتایج حاصل از پژوهش حاضر با مرجع [۵] که از مدل انتقال حرارت وشنی استفاده کرده و با نتایج تجربی تأیید گردیده است، تطابق خوبی دارند.

همچنین در این پژوهش مطالعات پارامتری بر روی موتور مذکور انجام شده که در آن تأثیر تغییر پارامترهای کلیدی طراحی از قبیل دور موتور، مدت زمان پاشش سوخت، درصد گازهای برگشتی، شعاع کاسه پیستون و انحراف مرکز کاسه پیستون نسبت به مرکز سیلندر بر روی پارامترهای عملکردی و آلاینده ای بررسی شده اند.

فهرست مطالب

صفحه	عنوان	
ط	فهرست علائم	
۱	مفاهیم اساسی در طراحی موتورها	فصل ۱
۲	تاریخچه	۱-۱
۷	مقدمه	۲-۱
۱۰	پارامترهای عملکردی در طراحی موتور	۳-۱
۱۱	گشتاور و قدرت ترمزی	۱-۳-۱
۱۲	کار اندیکاتور در هر سیکل	۲-۳-۱
۱۲	راندمان مکانیکی	۳-۳-۱
۱۳	توان بار جاده	۴-۳-۱
۱۴	فشار موئر متوسط	۵-۳-۱
۱۵	مروری بر سیکل‌های استاندارد هوا	۴-۱
۱۶	سیکل اتو	۱-۴-۱
۱۷	سیکل دیزل	۲-۴-۱
۲۱	شبیه سازی ریاضی موتورهای احتراق داخلی	فصل ۲
۲۲	هدف از شبیه سازی	۱-۲
۲۳	شبیه سازی فرایندهای فیزیکی	۲-۲
۲۴	شبیه سازی چند بعدی	۱-۲-۲
۲۵	شبیه سازی پدیده ای	۲-۲-۲
۲۵	سیستم احتراق کنترل شده نگزاکو (TCCS)	۳-۲
۲۶	مدل شبیه سازی موتور احتراقی با پاشش مستقیم	۱-۳-۲
۲۹	سیستمهای ترمودینامیکی و معادلات حاکم بر مدل (TCCS)	فصل ۳
۳۰	شبیه سازی فرایندهای مکش، تخلیه و جرم داخل سیلندر	۱-۳

	معادلات حاکم بر سیستم های المانهای سوختی و	۲-۳
۳۳	محاسبه پارامترهای عملکردی المانها	
۳۶	تحلیل حرکت جت سوختی در داخل سیلندر	۳-۳
۴۰	تحلیل میدان جریان سیال در داخل سیلندر	۵-۳
۴۹	شبيه سازی آليندههای اكسيدنیتروژن و مونواكسیدکربن	فصل ۴
۵۰	مقدمه	۱-۴
۵۱	مکانیزم تشکیل اکسیدنیتروژن	۲-۴
۵۵	مکانیزم تشکیل و اکسیده شدن مونواکسیدکربن	۳-۴
۵۸	مقایسه و بررسی نتایج	فصل ۵
۵۹	مقدمه	۱-۵
۶۰	بررسی آلينده اکسیدنیتروژن (NO)	۲-۵
۶۲	بررسی آلينده مونواکسیدکربن (CO)	۳-۵
۶۴	مطالعه تاثیر پارامترهای طراحی بر روی پارامترهای عملکردی موتور و آلينده های اکسیدنیتروژن و مونواکسیدکربن	۴-۵
۶۴	بررسی تاثیر تغییر دور	۱-۳-۵
۶۵	بررسی تاثیر تغییر مدت زمان پاشش سوخت	۲-۴-۵
۶۵	بررسی تاثیر تغییر گازهای خروجی برگشتی (EGR)	۳-۴-۵
۶۶	بررسی تاثیر تغییر شعاع کاسه پیستون (Rcup)	۴-۴-۵
۶۶	بررسی تاثیر افزایش انحراف مرکز کاسه پیستون نسبت به مرکز سیلندر (offset)	۵-۴-۵
۸۷	بحث و نتیجه گیری	۵-۵
۸۸		ضممه
۹۲	مراجع	

فهرست علامت

علامت اختصاری	
جرم هوا، مساحت	A
نسبت هوا به سوخت استوکیومتری	$(A/F)_s$
شعاع جریان آزاد جت سوختی	b
شعاع جت برخوردي	b _e
قطر میلندر	B
شعاع جت، طول بازو	b
نقشه مرگ پایین	BDC
لقی	C
نسبت تراکم	CR
حجم کنترل	c _v
فاکتور تولید توربولانس	C _p
ضریب تخلیه، ضریب نیروی مقاوم آبرودینامیکی	C _d
فاکتور تضعیف چرخش	C _{DB}
گرمای ویژه در فشار ثابت	C _p
ضریب نیروی مقاوم استاتیکی	C _R
گرمای ویژه در حجم ثابت	C _v
آهنگ انتقال انرژی	\dot{E}
جرم سوخت	F
نسبت سوخت به هوا	(F/A)
نسبت سوخت به هوا استوکیومتری	$(F/A)_s$
فشار موثر متوسط اصطکاکی	FMEP
شتاب جاذبه	g
مومنت زاویه ای	H
آنالیپی ویژه، فاصله بین سرسیلندر و بالای پستون	h
میانگین انرژی جنبشی سیال	K
میانگین انرژی توربولانس سیال	k
ثابت شدت واکنش در جهت رفت	k ⁺
ثابت شدت واکنش در جهت برگشت	k ⁻

ط

طول دسته شاتون، مقیاس توربولانسی	<i>l</i>
طول مشخصه هندسی، آرام	<i>L</i>
جرم	<i>m</i>
فشار موثر متوسط	<i>mep</i>
وزن مولکولی، جرم	<i>M</i>
سرعت موتور	<i>N</i>
چرخش میل لنگ برای هر کورس قدرت	<i>nR</i>
فشار سیلندر، قدرت	<i>P</i>
انتقال حرارت	<i>Q</i>
گرمای نهان تبخیر	<i>Q_{HV}</i>
موقعیت شعاعی جت سوختی اندازه گبری شده نسبت به محور سیلندر	<i>r</i>
ثابت گازها	<i>R</i>
ثابت جهانی گازها	<i>R̄</i>
نسبت تراکم، شعاع کاسه پیستون	<i>R_c</i>
شعاع سیلندر	<i>R_s</i>
فاصله در طول مسیر جت سوختی کورس پیستون	<i>s</i>
صرف ویژه سوخت	<i>sfc</i>
گشناور، درجه حرارت	<i>T</i>
زمان	<i>t</i>
نقطه مرگ بالا	<i>TDC</i>
پروفیل سرعت جت	<i>u</i>
حجم، سرعت	<i>V</i>
کار	<i>W</i>
کسر جرمی	<i>X</i>
زیر نویس و بالا نویس	
هوا	<i>a</i>
ترمیزی، سوخته	<i>b</i>
سیکل، محل برخورد با دیواره	<i>c</i>
دیزل	<i>D</i>

جابجا شده	d
غوطه ور در شعله	e
اصطکاک، سوخت	f
اینرسی	I
اندیکاتور، شماره المان	i
مکانیکی	m
اتو	o
کلی	ov
پیستون	p
مختصات شعاعی	r
استوکیومتری	s
نسوخته	u
سیبل	
پارامتر برای نفوذ جریان موازی با خط مرکزی جت	α
پارامتر برای نفوذ جریان عمود بر جریان برخوردي	β
میزان پخش انرژی جنبشی توربولانسی در واحد جرم	ϵ
نسبت اکی والانس	ϕ
نسبت گرماهای ویره	γ
راندمان	η
ضریب هدایت حرارتی	λ
ویسکوزیته سینماتیکی	ν
زاویه میل لنگ	θ
دانسیته	ρ
زمان مشخصه	τ
زمان مشخصه سوختی برای مدل احتراق	τ_c
سرعت زاویه ای	ω

فصل ۱

مفاهیم اساسی در طراحی موتورها

۱-۱ تاریخچه

موتورهای احتراق داخلی با شارژ چینهای بخار از موتورهای عملکرد بهتر، آلایندگی کمتر و توانایی استفاده از سوختهای چندگانه، جایگزین مناسبی برای موتورهای فعلی می‌باشد.

اگنیو^۱ [۱] مشاهده کرد که کنترل دقیق فرآیند احتراق برای عملکرد موتورهای احتراق داخلی با شارژ چینهای بحرانی است و بدست آوردن یک شارژ چینهای بهینه تحت یک محدوده از سرعت، بار، دما و شرایط پاشش تا حد زیادی مشکل می‌باشد.

میشل و آپرسنین^۲ [۲] با مطالعات روی موتور تگزاکو نشان دادند موتورهای با پاشش سوخت بنزین دارای راندمان بالا، آلایندگی کمتر و توانایی استفاده از سوخت چندگانه می‌باشند.

میزووتانی و ماتسوشیتا^۳ [۳] سوخت سبک دیزل را به داخل سیلندرهای موتورهای احتراق با اشتعال جرقهای پاشیدند و بهبود عملکرد موتور و کاهش آلاینده‌های CO و NO را مشاهده کردند. آلمامار^۴ [۴] مشاهده کرد که احتراق در محفظه دوگانه سریعتر از موتورهای با اشتعال جرقهای دارای محفظه باز بوده و آهنگ احتراق با سرعت جریان در اریفیس مطابق با اغتشاش تولیدی در آن افزایش می‌یابد. جیوانتی، اکچیان و هیوود^۵ [۵] فرایندهای مختلف سیکل کاری موتور احتراق داخلی با شارژ چینهای پاشش مستقیم (TCCS) را جهت یافتن پارامترهای عملکردی و آلاینده NO_x شیوه‌سازی کردند و به نتایج رضایت‌بخشی رسیدند.

المسیری و نیوهال^۶ [۶] از یک مدل ترمودینامیکی دو منطقه‌ای برای تحلیل احتراق در موتورهای با

Agnew^۱

Michell and Alperstein^۲

Mizutani and Matsushita^۳

Almamar^۴

Giovanetti, Ekciyan and Heywood^۵

El-Messiri and Newhall^۶

محفظه احتراق تقسیم شده استفاده کردند. در این مدل محفظه احتراق اولیه شامل سوخت و هوا و محفظه ثانویه فقط شامل هوا می‌باشد. همچنین نشان دادند که در موتور با محفظه دوگانه آنها، محصولات گرم احتراق خفه شده مانند NO ، تحت تأثیر حجم محفظه اولیه و مساحت اریفیس قرار گرفته و تشکیل NO با مطابق کردن سوخت کاهش می‌یابد.

ریشر^۷ [۷] در پیش محفظه یک موتور احتراقی با اشتعال جرقهای از یک فعال‌ساز استفاده کرد و نشان داد که فعال‌ساز اشتعال را سهولت بخشیده و شعله را در طبقات اولیه‌اش گسترش می‌دهد. همچنین زمان تاخیر در اشتعال مربوط به تغییر در شیمی احتراق و تغییر سیکلی (پراکنده‌گی سیکلی) را کاهش داده و حد فقیری را افزایش می‌دهد.

هریس و پیترز^۸ [۸] حد فقیری کاری موتورهای احتراقی با اشتعال جرقهای با افزایش پرواکسید-(di-t-butyl peroxide) به محفظه احتراق گسترش می‌یابد. پرواکسید مذکور تجزیه شده و رادیکالهای بیوکسی (tertiary peroxy radicals) با بتزین بدون سرب عمل کرده و آهنگ اکسیداسیون سوخت را افزایش می‌دهد. کوادر^۹ [۹] نشان داد که افزایش اکسیژن به جریان هوای ورودی دمای شعله، سرعت شعله و آلانده NO را افزایش داده و آلانده هیدروکربنهای نسخته (HC) و راندمان حرارتی موتور را کاهش داده و اجازه کار با سوخت فقیرتر را مهیا می‌کند.

راکیس و مکلین^{۱۰} [۱۰] از یک مدل ترمودینامیکی دو منطقه‌ای و رابطه انتقال حرارت وشنی برای تحلیل اثرات افزایش هیلروزن روی نفوذ شعله در موتورهای احتراقی با اشتعال جرقهای استفاده کردند و نتایج آنها نشان داد که با افزایش H_2 زمان تاخیر در اشتعال یا زمان القاء را بروزه در مخلوطهای فقیر کاهش داده و راندمان حرارتی موتور را بهبود می‌بخشد.

Richter^۷

Harris and Peters^۸

Quader^۹

Ruckis and Mclean^{۱۰}

- کاسیدی^{۱۱} [۱۱] عملکرد موتورهای با اشتعال جرقه‌ای چند سیلندر را با سوخت‌های بنزینی و بنزین-هیدروژن مطالعه کرد و نشان داد که:
- ۱) افزایش مقدار کمی هیدروژن به بنزین باعث افزایش سرعت شعله گردیده و در نتیجه زمان تاخیر در اشتعال را کاهش می‌دهد.
 - ۲) موتورهای با سوخت هیدروژن-بنزین، آلاینده NO_x زیادتری از موتورهای با سوخت بنزین بخاطر دماهای بیشینه بالا، تولید می‌کنند.
 - ۳) آلاینده هیدروکربنهای نسوخته (HC) از موتورهای با سوخت هیدروژن-بنزین در مقایسه با موتورهای بنزینی در نسبت‌های اکی والانس بیشتر از ۸٪ پایین می‌باشد و در نسبت‌های اکی والانس که مصرف سوخت کمترین مقدار را دارا می‌باشد بالاتر می‌باشد.
 - ۴) موتورهای با سوخت بنزین آلاینده CO را بیشتر از موتورهای با سوخت هیدروژن-بنزین تولید می‌کنند. کرایگر و دیویس^{۱۲} [۱۲] اثرات افزایش مخلوط تغذیه شده به پیش اتفاق در یک استوکیومتری کلی ثابت در موتور احتراق داخلی با شارژ چینه‌ای تک سیلندر را آزمایش کردند و نتایج زیر را به دست آوردند:
 - ۱) احتراق و تشکیل آلاینده‌ها توسط شعله جت رشد کرده از پیش اتفاق و گازهای اطراف شعله جت اندازه‌گیری می‌شود.
 - ۲) با افزایش چینه‌ای کردن، افزایش زیادی در آلاینده CO حاصل از گازهای پیش اتفاق ظاهر می‌شود.
 - ۳) شعله جت، هنگامیکه موتور با شرایط چینه‌ای قوی مخلوط سوخت و هوای کار می‌کند منبع اصلی آلاینده NO_x می‌باشد.
 - ۴) کاهش آلاینده HC در موتورهای با اشتعال جرقه‌ای با افزایش چینه‌ای کردن، به مقدار کمی مربوط به بالا بودن دماهای خروجی می‌باشد.

Cassidy^{۱۱}

Krieger and Davis^{۱۲}